

Modélisation Géométrique

Notions de Géométrie Différentielle

II

Stefanie Hahmann

Ensimag - Laboratoire LJK - Inria/Imagine

— *version 2014* —

1 Surfaces

2 Surfaces réglées

3 Surfaces développables

4 Technique de Modélisation Surfacique (Freeform)

Sommaire

- 1 **Surfaces**
- 2 Surfaces réglées
- 3 Surfaces développables
- 4 Technique de Modélisation Surfacique (Freeform)



Surface paramétrique

Un morceau de surface paramétrique régulière, dite **surface**, de classe C^r ($r > 1$) est une application de classe C^r

$$\left(\begin{array}{l} \mathbf{X} : \Omega \rightarrow \mathbb{R}^3 \\ (u, w) \mapsto \mathbf{X}(u, w) = \begin{bmatrix} x(u, w) \\ y(u, w) \\ z(u, w) \end{bmatrix} \end{array} \right)$$

qui est de rang 2 dans Ω .

$\Omega \subset \mathbb{R}^2$ est le domaine de paramètre.

$$\left. \begin{array}{l} u \mapsto \mathbf{X}(u, w), w = \text{const.} \\ w \mapsto \mathbf{X}(u, w), u = \text{const.} \end{array} \right\} \text{ lignes de paramètre}$$

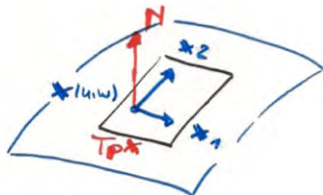
$$\mathbf{X} \text{ de rang } 2 \Rightarrow [\mathbf{X}_u, \mathbf{X}_w] \neq 0 \quad (\mathbf{X}_u := \frac{\partial \mathbf{X}}{\partial u}, \mathbf{X}_w := \frac{\partial \mathbf{X}}{\partial w} \text{ dérivées partielles.})$$

Plan tangent en $p = (u, w)$

$$T_p \mathbf{X} = \{ \mathbf{X}(u, w) + \lambda \mathbf{X}_u(u, w) + \nu \mathbf{X}_w(u, w) \mid (\lambda, \nu) \in \mathbb{R}^2 \}$$

Normale de la surface

$$\mathbf{N}(u, w) := \frac{\mathbf{X}_u \times \mathbf{X}_w}{\|\mathbf{X}_u \times \mathbf{X}_w\|}$$



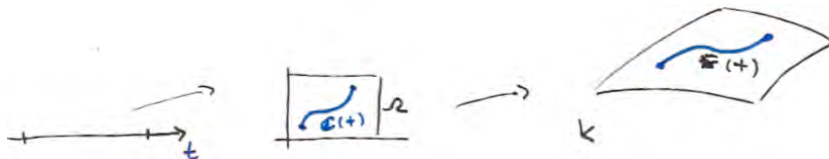
$\{\mathbf{X}_u, \mathbf{X}_w, \mathbf{N}\}$ repère orienté positivement \Rightarrow système de coordonnées local.

- Changement de paramètre $\Phi : \tilde{\Omega} \rightarrow \Omega$
- Relation d'équivalence $\bar{\mathbf{X}} = \mathbf{X} \circ \Phi^{-1}$
- Invariants géométriques: plan tangent, image de $\mathbf{X}(\Omega)$, direction de \mathbf{N} .

Courbe sur la surface

Soit $C : I \rightarrow \Omega$, $c(t) \mapsto \begin{bmatrix} u(t) \\ w(t) \end{bmatrix}$ une courbe paramétrique de classe C^1 :

$$\left(\begin{array}{l} \bar{\mathbf{X}} = \mathbf{X} \circ C : I \rightarrow \mathbb{R}^3 \\ t \mapsto C(t) \mapsto \bar{\mathbf{X}}(t) = \mathbf{X}(u(t), w(t)) \end{array} \right)$$



Première forme fondamentale I_p

forme matricielle dans la base canonique $\{\mathbf{X}_u, \mathbf{X}_w\}$ de $T_p\mathbf{X}$ en $p = (u, w)$

$$G = (g_{ij})_{i,j=1,2} = \begin{bmatrix} \langle \mathbf{X}_u, \mathbf{X}_u \rangle & \langle \mathbf{X}_u, \mathbf{X}_w \rangle \\ \langle \mathbf{X}_w, \mathbf{X}_u \rangle & \langle \mathbf{X}_w, \mathbf{X}_w \rangle \end{bmatrix}$$

Forme bilinéaire symétrique I_p

$$\left(\begin{array}{l} I_p : T_p\mathbf{X} \times T_p\mathbf{X} \rightarrow \mathbb{R} \\ (A, B) \mapsto \langle A, B \rangle \end{array} \right)$$

Elle est issue de la restriction du produit scalaire usuel de \mathbb{R}^3 au plan tangent à la surface $\mathbf{X}(u, w)$.

La première forme fondamentale I_p et ainsi G , est un **invariant géométrique**. Les g_{ij} ne le sont pas.

Elle est positive définie en tous les points réguliers de la surface.

Deuxième forme fondamentale II_p

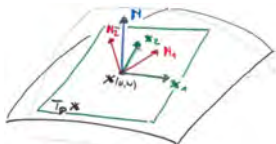
forme matricielle

$$H = (h_{ij})_{i,j=1,2} = \begin{bmatrix} \langle \mathbf{X}_{uu}, \mathbf{N} \rangle & \langle \mathbf{X}_{uw}, \mathbf{N} \rangle \\ \langle \mathbf{X}_{wu}, \mathbf{N} \rangle & \langle \mathbf{X}_{ww}, \mathbf{N} \rangle \end{bmatrix}$$

Forme bilinéaire symétrique II_p

$$\left(\begin{array}{l} II_p : T_p \mathbf{X} \times T_p \mathbf{X} \rightarrow \mathbb{R} \\ (A, B) \mapsto \langle L_p(A), B \rangle \end{array} \right)$$

avec $L_p(A) = -d\mathbf{N} \circ d\mathbf{X}^{-1}(A)$ l'application de Weingarten ($T_p \mathbf{X} \rightarrow T_p \mathbf{X}$).



$\mathbf{L} = \mathbf{H}\mathbf{G}^{-1}$ est symétrique et réelle.

Elle admet valeur propres réelles κ_{min} et κ_{max} avec des vecteurs propres orthogonaux λ_{min} et λ_{max} .

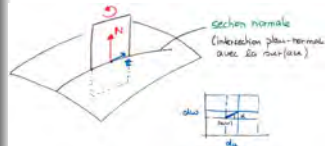
Courbure normale

La courbure normales de **X** en un point (u, w)

$$\kappa_n(\lambda) = \frac{h_{11} + 2h_{12}\lambda + h_{22}\lambda^2}{g_{11} + 2g_{12}\lambda + g_{22}\lambda^2}, \quad \lambda = dw/du = \tan \alpha$$

est une fonction quadratique rationnelle. Les valeurs extrêmes κ_{min} et κ_{max} correspondent aux racines λ_1, λ_2 de

$$\det \begin{vmatrix} \lambda^2 & -\lambda & 1 \\ g_{11} & g_{12} & g_{22} \\ h_{11} & h_{12} & h_{22} \end{vmatrix} = 0$$



Courbures principales

κ_{min} et κ_{max} s'appellent les **courbures principales** de \mathbf{X} en (u, w) .
 $\lambda_1 = \lambda_{min}, \lambda_2 = \lambda_{max}$ sont les **directions principales**.

Comme vecteurs propres de l'application de Weingarten L les directions principales sont orthogonales.

Lignes de courbures

Réseau de lignes orthogonales dont les tangentes sont égales aux directions principales.

Courbure de Gauß

$$K = \kappa_{min} \cdot \kappa_{max}$$

$$K = \frac{\det H}{\det G} = \frac{h_{11}h_{22} - h_{12}^2}{g_{11}g_{22} - g_{12}^2}$$

Courbure moyenne

$$M = \frac{1}{2}(\kappa_{min} + \kappa_{max})$$

$$M = \frac{h_{11}g_{22} - 2h_{12}g_{12} + h_{22}g_{11}}{2 \det G}$$

Inversement:

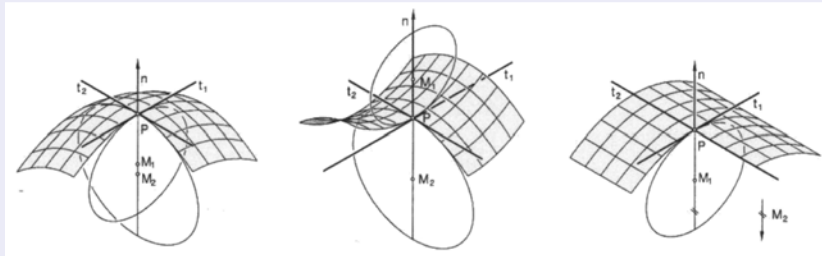
$$\kappa_{min,max} = M \pm \sqrt{M^2 - K}$$

Remarque: Les formes fondamentales I_p, II_p et les courbure principales sont des invariants géométriques.

Remarque: sur une sphère: $\kappa_{min} = \kappa_{max} = const$ en tout point.

Caractérisation des points de la surface

en fonction du signe de la courbure de Gauß (resp. des courbures principales)



$$K > 0$$

point elliptique

$$K < 0$$

point hyperbolique

$$K = 0$$

point parabolique

Représentation locale de la surface

$\mathbf{x}: U \rightarrow \mathbb{R}^3$ surface paramétrique, $U \subset \mathbb{R}^2$
 $\mathbf{q} = (q^1, q^2)$ distance du point $\mathbf{x}(u_0 + \mathbf{q}^1, u_0 + \mathbf{q}^2)$ au plan tangent en u_0



signification de \mathbf{q} en FF!

$$\mathbf{x}(u_0 + \mathbf{q}^1, u_0 + \mathbf{q}^2) = \mathbf{x}(u_0) + \mathbf{x}_1(u_0)q^1 + \mathbf{x}_2(u_0)q^2 + O(\|\mathbf{q}\|^3)$$

$$d(\mathbf{q}^1, \mathbf{q}^2) = \langle \mathbf{x}_1(u_0 + \mathbf{q}^1) - \mathbf{x}_1(u_0), \mathbf{x}_2(u_0) \rangle$$

$$= \frac{1}{2} \mathbf{g}_{ij}(u_0) q^i q^j + O(\|\mathbf{q}\|^3)$$

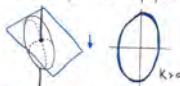
On définit le paraboloid osculateur

$\mathbf{P}(\mathbf{q}^1, \mathbf{q}^2) = \mathbf{x}(u_0) + \mathbf{x}_1(u_0)q^1 + \mathbf{x}_2(u_0)q^2 + \frac{1}{2} \mathbf{g}_{ij}(u_0) q^i q^j$ Niveau qui se comporte qualitativement à l'ordre 2 comme la surface en u_0 .

On distingue 4 cas pour caractériser $\mathbf{x}(u_0)$:

(1) POINT ELLIPTIQUE

$\mathbf{g}_{ij}(u_0)q^i q^j$ défini positive $\Leftrightarrow K(u_0) > 0$
 P est un paraboloid elliptique.



(2) POINT HYPERBOLIQUE

$\mathbf{g}_{ij}(u_0)q^i q^j$ est défini négative $\Leftrightarrow K(u_0) < 0$



(3) POINT PARABOLIQUE

$\mathbf{g}_{ij}(u_0)q^i q^j$ non défini $\Leftrightarrow K(u_0) = 0$
 $(x_0, y_0) \neq (0, 0)$



(4) POINT PLANAIRE

$\mathbf{g}_{ij}(u_0)q^i q^j = 0 \Leftrightarrow x_0 = y_0 = 0$ en u_0

UMBILIC

point singulier, pas de directions principales

Considération locale de la surface par la courbure de Gauss K .

Sommaire

1 Surfaces

2 Surfaces réglées

3 Surfaces développables

4 Technique de Modélisation Surfactive (Freeform)

Surface réglée

$\mathbf{X} : \Omega \rightarrow \mathbb{R}^3$ est appelée surface réglée, si il existe une paramétrisation t.q.

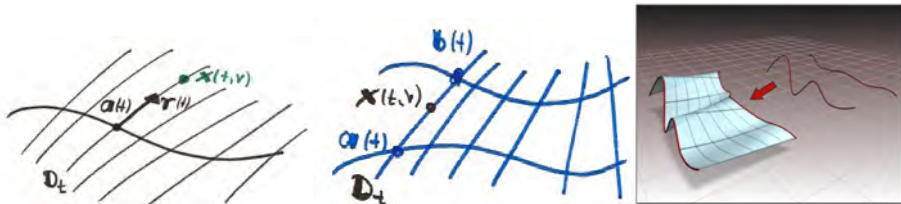
$$\mathbf{X}(t, v) = \mathbf{a}(t) + v \cdot \mathbf{r}(t), \quad t \in I, v \in \mathbb{R}$$

point $\mathbf{a}(t)$, vecteur $\mathbf{r}(t) \neq 0$, $\|\mathbf{r}\| = 1$.

La droite D_t engendré par $\mathbf{r}(t)$ s'appelle **génératrice**.

La courbe $\mathbf{a}(t)$ s'appelle **directrice**.

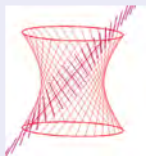
autre définition: $\mathbf{r}(t) := \mathbf{b}(t) - \mathbf{a}(t)$, où 2 $\mathbf{a}(t), \mathbf{b}(t)$ sont 2 courbes gauches.



Exemples de surface réglées

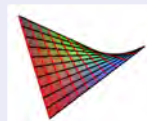
- hyperboloïde de révolution $x^2 + y^2 - z^2 = 1$

$$\mathbf{x}(t, v) = \begin{pmatrix} \cos t \\ \sin t \\ 0 \end{pmatrix} + v \cdot \begin{pmatrix} -\sin t \\ \cos t \\ 1 \end{pmatrix}$$

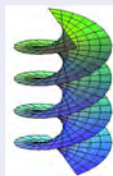


- paraboloïde hyperbolique $z = kxy$, $k \neq 0$

$$\mathbf{x}(t, v) = \begin{pmatrix} t \\ 0 \\ 0 \end{pmatrix} + v \cdot \begin{pmatrix} -0 \\ 1/k \\ t \end{pmatrix}$$

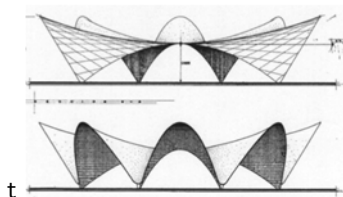


- hélicoïde réglée



Théorème

Pour une surface réglée la courbure de Gauß est $K \leq 0$ en tout point régulier.



Restaurant Los Manantiales à Mexico



Sommaire

1 Surfaces

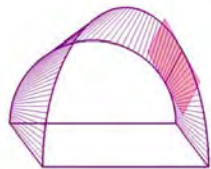
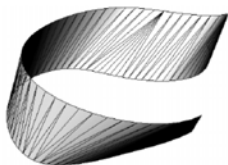
2 Surfaces réglées

3 Surfaces développables

4 Technique de Modélisation Surfacique (Freeform)

Surface développable

Une surface C^1 est appelée développable si chaque point a un voisinage qui peut être développé de façon isométrique au plan, tel que la longueur d'arc est préservée.

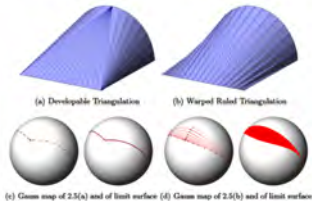


propriétés

- Une surface développable peut être déroulée (développée) sur un plan sans étirements ni compressions (préservation des longueurs).
- Une surface est développable ssi sa courbure de Gauß $K = 0$ en tout point régulier.
- Le vecteur normal \mathbf{n} est constant le long de la génératrice D_t .

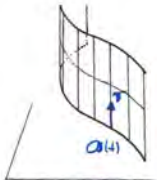
propriétés (suite)

- La Gauß map d'une surface développable est une courbe.
- Les surfaces suivantes sont développables:
 $\mathbf{X}(t, v) = \mathbf{a}(t) + v \cdot \mathbf{r}$ surface cylindrique,
 $\mathbf{X}(t, v) = v \cdot \mathbf{r}(t)$ surface conique
 $\mathbf{X}(u, v) = \mathbf{a}(t) + v \cdot \mathbf{a}'(t)$ développée tangentielle le plan.



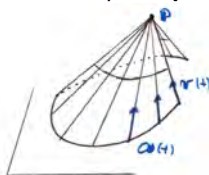
Cylindre généralisée

$\mathbf{a}(t) \in \text{plan},$
 $\mathbf{r}(t)$ tous parallèle

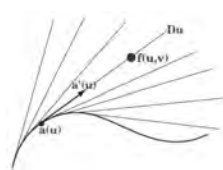


Cône généralisée

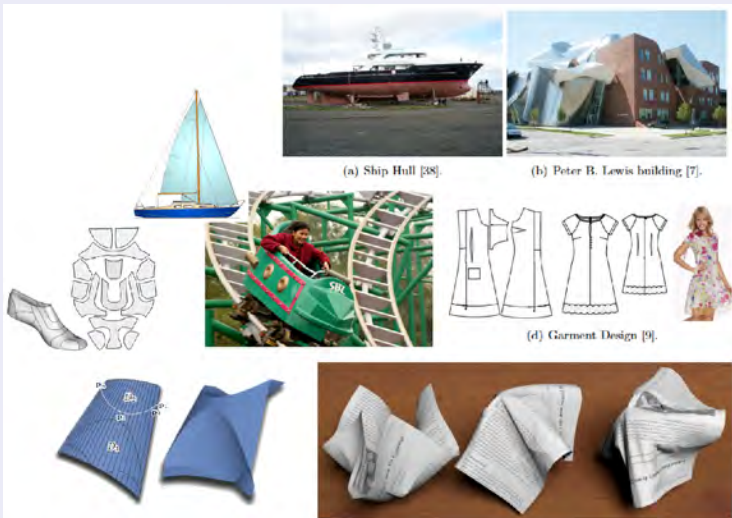
D_t passent toutes par un même point \mathbf{p}



Développée tangentielle



Applications



Applications (Batiments réalisés à partir de surf. dév.)

L'opéra de Ténérife par l'architecte Santiago Calatrava



Le musée Guggenheim de Bilbao par l'architecte Frank Gehry.



Applications (suite)



Figure 1: *The Morphosense ribbon alone and laying on a physical surface.*

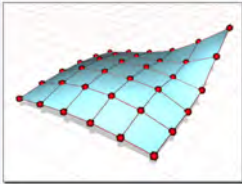


Figure 2: *Plateforme de contrôle*

Sommaire

- 1 Surfaces
- 2 Surfaces réglées
- 3 Surfaces développables
- 4 Technique de Modélisation Surfacique (Freeform)**

Surface par interpolation



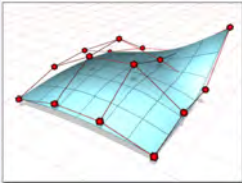
Lagrange interpolation

$$\mathbf{X}(u, w) = \sum \sum \mathbf{P}_{ij} L_i(u) L_j(w)$$

Hermite interpolation

$$\mathbf{X}(u, w) = \sum \mathbf{P}_{ij} H_i H_j + \sum \mathbf{P}'_{ij} \bar{H}_i \bar{H}_j$$

Surface spline



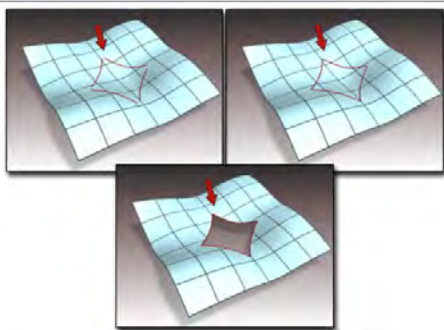
Bézier surface

$$\mathbf{X}(u, w) = \sum \sum \mathbf{b}_{ij} B_i^n(u) B_j^m(v)$$

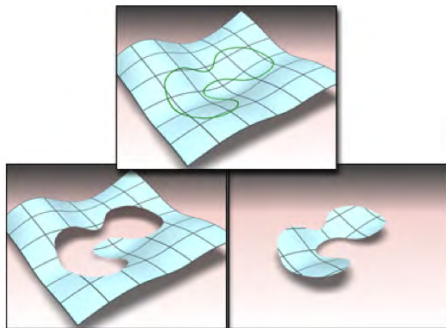
B-spline surface

$$\mathbf{X}(u, w) = \sum \sum \mathbf{d}_{ij} N_{i,n}(u) N_{j,m}(v)$$

Surface trimmée

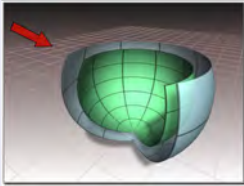


Creating a multicurve trimmed surface



[images 3DSmax]

Surface offset

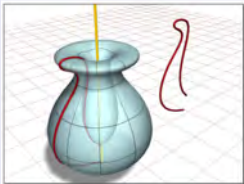


$$\mathbf{S}(u, w) = \mathbf{X}(u, w) + k \cdot \mathbf{N}(u, w), \quad k \in \mathbb{R}$$

Attention aux auto-intersections quand $k > 1/\kappa_{max}$ (rayon courbure minimal)

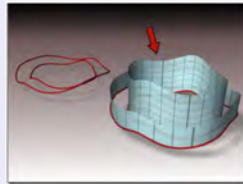
Surface de révolution

Surface paramétrique de \mathbb{R}^3 , balayée par rotation d'une courbe plane, appelée méridienne.



Surface d'extrusion

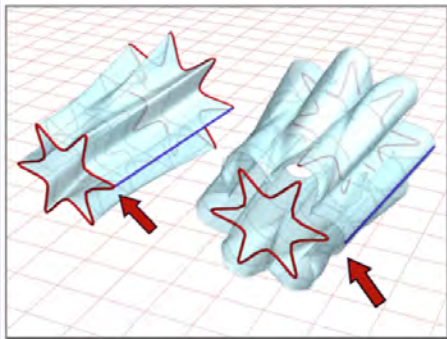
Extrusion d'un profil le long une direction (droite).



[images 3DSmax]

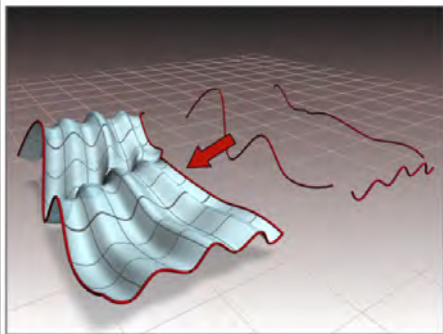
Surface par balayage (sweep)

Balayage d'un profil lelong d'une trajectoire courbe.



1-rail sweep surface

Changing the position of the rail can change the shape of the surface.

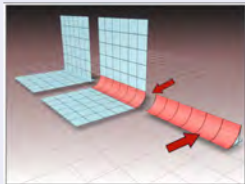


Sweep surface created with two rails

[images 3DSmax]

Surface fillet / congé

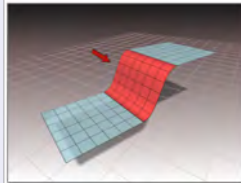
Congé de raccord de continuité C^1 ou C^2 entre 2 surfaces (pas nécessairement planes).



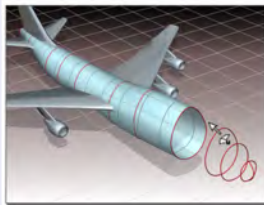
Fillet surface created from two parent surfaces

Surface blending

raccord de continuité C^1 ou C^2



Surface loft



Interpolation de courbes contour.

Freeform surface modeling software

CATIA

source: wikipedia

Solidworks

ICEM Surf

ProEngineer ISDX

NX (Unigraphics -> Siemens PLM)

ProEngineer

Autodesk Inventor

Geomagic

Alias StudioTools (Autodesk)

Blender

Rhinoceros 3D

VSR Virtual Shape (Autodesk)

SolidThinking Evolve, Inspire

SpaceClaim Engineer, Cobalt (Ashlar-Vellum), form-Z, PowerSHAPE, GenesisIOD, OmniCAD (Siemens), Thinkdesign, MicroStation (Bentley Systems Inc), Shark FX (Punch!), Moi3D Moment of Inspiration 3D modeling for designers and artists.